



DOI:10.3872/j.issn.1007-385x.2018.09.007

·基础研究·

miR-195-5p 靶向 *FGF2* 抑制子宫内膜癌 HEC-1B 细胞恶性生物学行为

李万斌^a, 王新勇^b, 周烨^b(济宁医学院 a. 临床学院; b. 附属医院妇科, 山东 济宁 272067)

[摘要] 目的: 探讨 miR-195-5p 通过靶向 *FGF2* 抑制子宫内膜癌 HEC-1B 细胞增殖、凋亡、侵袭和迁移的分子机制。方法: HEC-1B 细胞培养与转染完成后分为 4 组: HEC-1B 组、miR-195-5p mimic 组、pLV-FGF2 组和 miR-195-5p+FGF2 组。qRT-PCR 检测细胞 miR-195-5p 和 *FGF2* mRNA 水平, 荧光素酶实验验证 miR-195-5p 与 *FGF2* 的靶向关系, Western blotting 检测 *FGF2* 表达水平, CCK-8 法检测 HEC-1B 细胞增殖水平, 流式细胞术检测 HEC-1B 细胞凋亡率, Transwell 实验检测 HEC-1B 细胞侵袭能力, 划痕实验检测 HEC-1B 细胞迁移能力。结果: 与 HEC-1B 组相比, miR-195-5p mimic 组 miR-195-5p 表达升高、*FGF2* mRNA 水平下降(均 $P < 0.01$); miR-195-5p 可直接靶向 *FGF2*。与 HEC-1B 组相比, miR-195-5p mimic 组 *FGF2* 的蛋白表达水平下降, pLV-FGF2 组 *FGF2* 的蛋白水平明显上升, 且 miR-195-5p+FGF2 组 *FGF2* 的蛋白表达水平低于 pLV-FGF2 组(均 $P < 0.01$)。miR-195-5p mimic 组细胞增殖水平低于 HEC-1B 组, pLV-FGF2 组细胞增殖水平高于 HEC-1B 组(均 $P < 0.01$)。与 HEC-1B 组相比, miR-195-5p mimic 组细胞凋亡率增加, pLV-FGF2 组细胞凋亡率降低, 且 miR-195-5p+FGF2 组细胞凋亡率高于 pLV-FGF2 组(均 $P < 0.01$)。与 HEC-1B 组相比, miR-195-5p mimic 组每个视野下的侵袭细胞数和划痕愈合率下降, pLV-FGF2 组每个视野下的侵袭细胞数和划痕愈合率上升, 且 miR-195-5p+FGF2 组每个视野下的侵袭细胞数和划痕愈合率低于 pLV-FGF2 组(均 $P < 0.01$)。结论: miR-195-5p 通过靶向 *FGF2* 抑制子宫内膜癌 HEC-1B 细胞的增殖、侵袭和迁移并促进细胞凋亡, 其作为子宫内膜癌的治疗靶点。

[关键词] 子宫内膜癌; HEC-1B 细胞; miR-195-5p; 增殖; 凋亡; 侵袭; 迁移

[中图分类号] R392.11; R737.33 [文献标识码] A [文章编号] 1007-385X(2018)09-0884-07

MiR-195-5p targeting *FGF2* inhibits malignant biological behaviors of endometrial carcinoma HEC-1B cells

LI Wanbin^a, WANG Xinyong^b, ZHOU Ye^b(a. The Clinical College; b. Department of Gynecology, Affiliated Hospital of Jining Medical University, Jining 272067, Shandong, China)

[Abstract] Objective: To explore the molecular mechanism of miR-195-5p targeting *FGF2* to inhibit the proliferation, apoptosis, invasion and migration of endometrial cancer HEC-1B cells. Methods: After culture and transfection, HEC-1B cells were divided into 4 groups: HEC-1B group, miR-195-5p mimic group, pLV-FGF2 group and miR-195-5p+FGF2 group. The expressions of miR-195-5p and mRNA levels of *FGF2* were detected by qRT-PCR. The targeted relationship of miR-195-5p and *FGF2* was verified by luciferase assay. The protein expression of *FGF2* was examined by Western blotting; Proliferation of HEC-1B cells was measured by CCK-8; Apoptosis was tested by flow cytometry; HEC-1B cell invasion was detected by transwell, and migration was measured by scratch assay. Results: Compared with HEC-1B group, the expression of miR-195-5p in miR-195-5p mimic group was elevated while *FGF2* mRNA level was declined (all $P < 0.01$). Luciferase assay indicated that *FGF2* was a target of miR-195-5p. Compared with HEC-1B group, the protein level of *FGF2* in miR-195-5p mimic group was decreased, and the protein levels of *FGF2* in pLV-FGF2 group were enhanced ($P < 0.01$). The protein levels of *FGF2* in miR-195-5p+FGF2 group were lower than that in pLV-FGF2 group (all $P < 0.01$). The proliferation in miR-195-5p mimic group was lower than HEC-1B group ($P < 0.01$), while the proliferation in pLV-FGF2 group was higher than that in HEC-1B group (all $P < 0.01$). Compared with HEC-1B group, apoptosis in miR-195-5p mimic group was increased, and apoptosis in pLV-FGF2 group was decreased ($P < 0.01$); moreover, apoptosis in miR-195-5p+FGF2 group was higher than that in pLV-FGF2 group ($P < 0.01$). Compared with HEC-1B group, the number of invasive cells per field and the rate of wound healing in miR-195-5p mimic group were decreased, while those in pLV-FGF2 group was enhanced ($P < 0.01$); moreover, the number of invasive cells per field and the rate of wound healing in miR-195-5p+FGF2 group was lower than those in pLV-FGF2 group (all $P < 0.01$). Conclusion: miR-195-5p inhibits proliferation, invasion and migration and promotes apoptosis of endometrial cancer HEC-1B cells by targeting *FGF2*.

[基金项目] 山东省自然科学基金资助项目(No.Q98C01124)。Project supported by the Natural Science Foundation of Shandong Province (No. Q98C01124)

[作者简介] 李万斌(1974-),女,硕士,讲师,主要从事妇科肿瘤的基础与临床研究,E-mail:chenwangzsdr@163.com



ing FGF2, and could be used as a treatment target of endometrial cancer.

[Key words] endometrial cancer; HEC-1B cell; miR-195-5p; proliferation; apoptosis; invasion; migration

[Chin J Cancer Biother, 2018, 25(9): 884-890. DOI: 10.3872/j.issn.1007-385X.2018.09.007]

子宫内膜癌是世界上第六大常见癌症,也是继宫颈癌之后的全球第二大妇科癌症,每年约有7.4万名女性死于子宫内膜癌^[1-3]。MicroRNAs是一类长度约为22个核苷酸的非编码RNA,涉及基因转录后调控,在细胞生物学过程中起着重要作用。研究^[4]表明, microRNAs的异常表达与包括癌症在内的各种疾病密切相关,其在癌症的发生发展进程及抗药性方面发挥着重要作用。大量数据^[5-6]显示,子宫内膜癌中存在着大量异常表达的microRNAs,这些microRNAs与细胞增殖、凋亡、侵袭和转移存在密切联系。有研究^[7-10]显示,miR-195-5p在子宫内膜癌中低表达,在前列腺癌、甲状腺癌及膀胱癌等癌症发挥着重要的调控作用。本研究旨在观察miR-195-5p通过靶向FGF2对子宫内膜癌HEC-1B细胞增殖、凋亡、侵袭和迁移的影响及其分子作用机制,为子宫内膜癌的靶向治疗提供实验基础。

1 材料与方法

1.1 细胞系及主要试剂

子宫内膜癌细胞系HEC-1B购自美国典型培养物保藏中心(American Type Culture Collection, ATCC)。DMEM培养基、胎牛血清及转染试剂turbo-Fect transfection reagent购自赛默飞世尔科技公司,增强miR-195-5p表达的特异性序列miR-195-5p mimic及其阴性对照非特异性序列NC、FGF2慢病毒表达载体pLV-FGF2以及含野生型和突变型FGF2序列的荧光素酶报告基因质粒由上海吉玛制药技术有限公司提供,总RNA提取试剂盒TRIzol reagent及其反转录试剂盒PrimeScript® RT reagent Kit、microRNA提取试剂盒RNAiso for Small RNA及其反转录试剂盒One Step PrimeScript® miRNA cDNA Synthesis Kit和定量PCR试剂盒SYBR Premix Ex Taq™购自大连TaKaRa公司,荧光素酶检测试剂盒来源于Promega公司,Annexin V-FITC/PI细胞凋亡检测试剂盒购自Solarbio公司,Transwell小室及人工基底膜购自美国BD公司,抗成纤维细胞生长因子2(fibroblast growth factor 2, FGF2)抗体购自英国Abcam公司。

1.2 细胞培养与转染

HEC-1B细胞于含10%胎牛血清和1%青-链霉素的DMEM培养基中,并置于37℃、5%CO₂的恒温培养箱中培养。当细胞汇合度70%~80%时进行传代。HEC-1B细胞分为4组:HEC-1B组、miR-195-5p

mimic组、pLV-FGF2组和miR-195-5p+FGF2组。为了提高miR-195-5p和FGF2表达,按照转染试剂turbofect transfection reagent说明书将miR-195-5p mimic(5'-UAGCAGCACAGAAAUUUGGC-3')及pLV-FGF2分别转入HEC-1B细胞中。

1.3 qRT-PCR检测miR-195-5p和FGF2 mRNA表达水平

细胞转染前及转染mimic-NC、miR-195-5p mimic后检测miR-195-5p和FGF2 mRNA表达水平。运用RNA提取试剂盒提取RNA后进行反转录。根据SYBR Premix Ex Taq™说明书进行qRT-PCR,其引物序列如下:miR-195-5p上游引物为5'-GATAGCAG-CACAGAAATATTGGC-3',下游引物为5'-CAGT-GCGTGTCTGGAGT-3';FGF2上游引物为5'-AGAAGAGCGACCCTCACATCA-3'、下游引物为5'-CGGTTAGCACACACTCCTTG-3'。用公式 $2^{-\Delta\Delta Ct}$ 计算miR-195-5p和FGF2 mRNA表达水平。实验重复3次。

1.4 荧光素酶实验验证miR-195-5p与FGF2的靶向作用关系

按照转染试剂turbofect transfection reagent说明书将FGF2野生型或突变型的荧光素酶报告基因质粒载体单独转入细胞中,或同时添加miR-138 mimic转入细胞,培养48 h后移去培养液。加入PBS洗涤细胞,弃去洗涤液,在孔中加入细胞裂解液将细胞裂解。室温下振荡器上振荡5~10 min,移入离心管中3 000×g离心5 min,取上清进行发光测定。按照试剂盒说明书和仪器操作说明对待测样品进行发光值测定。实验重复3次。

1.5 Western blotting检测转染前后HEC-1B细胞中FGF2的表达

用PBS将待测细胞清洗3次,加入含蛋白酶抑制剂的细胞裂解液提取总蛋白,100℃变性5 min。等量蛋白进行SDS-PAGE分离并转至PVDF膜。经5%的BSA封闭1 h后加入抗FGF2的一抗,4℃过夜孵育。再加入辣根过氧化物酶标记的二抗,室温孵育1.5 h。加入发光液后于凝胶成像仪进行曝光拍照,并统计灰度值计算相对表达量。实验重复3次。

1.6 CCK-8法检测HEC-1B细胞增殖率

首先将各组待测细胞用稀释到10%的CCK-8溶液制成 1×10^6 个/ml的细胞悬液,然后在37℃恒温培养箱中培养4 h,最后检测450 nm处光密度(D)值,计算细胞增殖倍数,绘制生长曲线。实验重复3次。

1.7 流式细胞术检测 HEC-1B 细胞凋亡率

收集各组待测细胞, 经 PBS 洗涤后用 Binding buffer 将细胞制成 1×10^6 个/ml 的悬液。然后加入 Annexin V-FITC, 混匀, 室温下避光孵育 10 min。再加入 PI, 室温下避光孵育 5 min, 流式细胞仪对染色的细胞进行检测。实验重复 3 次。

1.8 Transwell 实验检测 HEC-1B 细胞侵袭能力

首先各组待测细胞悬浮于无胎牛血清的 DMEM 培养基中, 细胞密度为 1×10^6 个/ml。然后在 Transwell 的下室中加入含 20% 胎牛血清的 DMEM 培养基, 在铺有人工基底膜的 Transwell 的上室中加入上述细胞悬液。37 °C 培养 24 h 后, 用 0.5% 的结晶紫对上室底部细胞进行染色, 并用棉签除去上室内侧的细胞, 显微镜下观察并统计细胞数量。

1.9 划痕实验检测 HEC-1B 细胞细胞迁移能力

将各组待测细胞制成细胞密度为 1×10^6 个/ml 的细胞悬液加入到 6 孔板中, 过夜培养至形成单层细胞。在单层细胞上用 10 μl 的枪头划横线, 用 PBS 洗

去因划线而脱落的细胞, 显微镜下拍照记录划痕宽度, 继续培养 24 h 后, 显微镜下拍照记录划痕宽度, 计算划痕愈合率(%)=(初始划痕宽度-培养 24 h 后划痕宽度)/初始划痕宽度×100%。

1.10 统计学处理

采用 SPSS 25.0 统计学软件和 GraphPad Prism 5.0 作图软件, 数据以 $\bar{x} \pm s$ 表示, 两组间比较采用 *t* 检验; 多组间比较采用单因素方差分析。以 $P < 0.05$ 或 $P < 0.01$ 表示差异有统计学意义。

2 结 果

2.1 转染 miR-195-5p mimic 可提高或降低 HEC-1B 细胞 miR-195-5p 和 FGF2 mRNA 表达水平

qRT-PCR 检测结果(图 1)显示, 子宫内膜癌 HEC-1B 细胞转染 miR-195-5p mimic 后 miR-195-5p mimic 组 miR-195-5p 表达明显高于 HEC-1B 组, FGF2 mRNA 水平低于 HEC-1B 组(均 $P < 0.01$)。

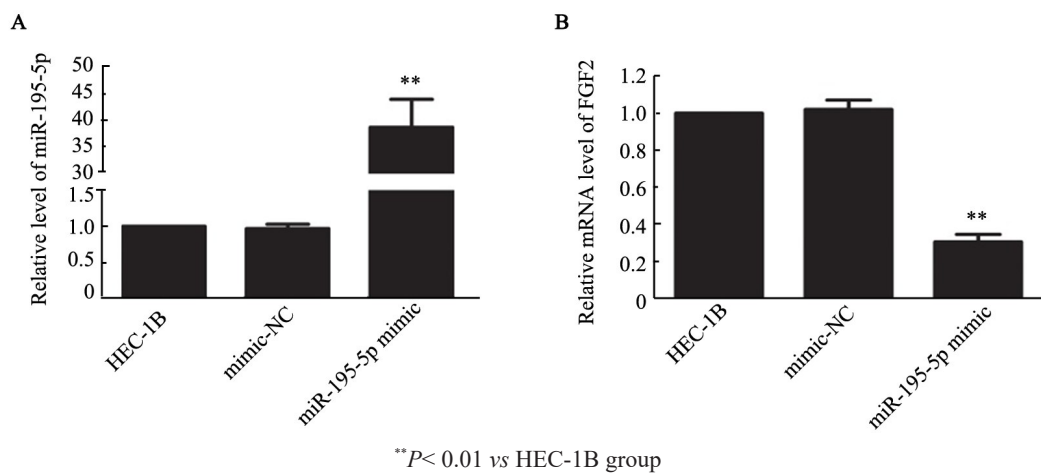


图 1 转染 miR-195-5p mimic 对 HEC-1B 细胞 miR-195-5p(A) 和 FGF2 mRNA(B) 表达水平的影响

Fig. 1 Effect of miR-195-5p mimic transfection on the mRNA expressions of miR-195-5p (A) and FGF2 (B)

2.2 miR-195-5p 直接靶向作用于 FGF2

荧光素酶实验进一步验证结果(图 2)显示, 转染野生型和突变型 FGF2 序列质粒的细胞中荧光素酶活性无明显差异($P > 0.05$); 转染 miR-195-5p mimic 和野生型 FGF2 序列质粒与单独转染野生型 FGF2 序列质粒比较, 荧光素酶活性明显下降($P < 0.01$); 转染 miR-195-5p mimic 和突变型 FGF2 序列质粒与单独转染突变型 FGF2 序列质粒相比, 荧光素酶活性无明显变化($P > 0.05$)。上述结果表明 miR-195-5p 直接靶向作用于 FGF2。

2.3 miR-195-5p 负向调控 HEC-1B 细胞 FGF2 蛋白的表达水平

Western blotting 实验检测结果(图 3)显示, 与

HEC-1B 组相比, miR-195-5p mimic 组 FGF2 的蛋白表达水平下降, pLV-FGF2 组的 FGF2 蛋白水平上升, miR-195-5p+FGF2 组 FGF2 的蛋白水平低于 pLV-FGF2 组(均 $P < 0.01$), 表明 miR-195-5p 负向调控 FGF2 表达。

2.4 miR-195-5p 靶向 FGF2 明显降低 HEC-1B 细胞增殖水平

CCK-8 法检测结果(图 4)显示, 与 HEC-1B 组相比, miR-195-5p mimic 组细胞增殖率较 HEC-1B 组明显降低, pLV-FGF2 组细胞增殖水平升高, 且 miR-195-5p+FGF2 组细胞增殖水平低于 pLV-FGF2 组(均 $P < 0.01$), 表明 miR-195-5p 靶向 FGF2 可降低子宫内膜癌 HEC-1B 细胞增殖水平。

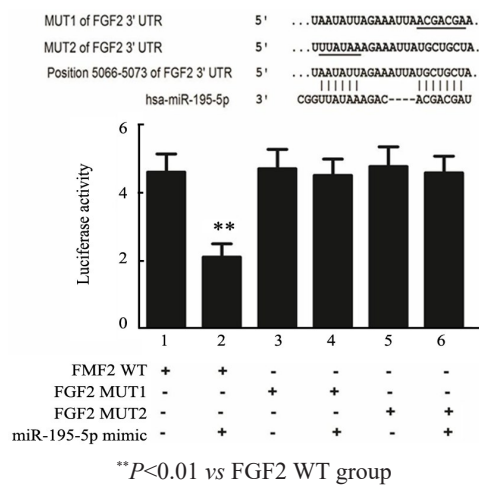
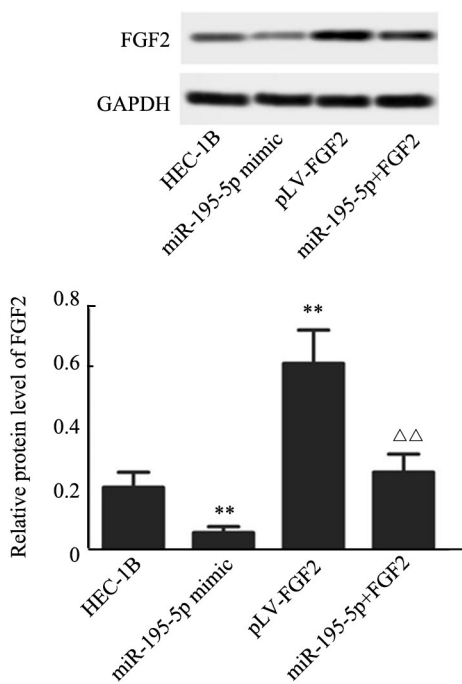
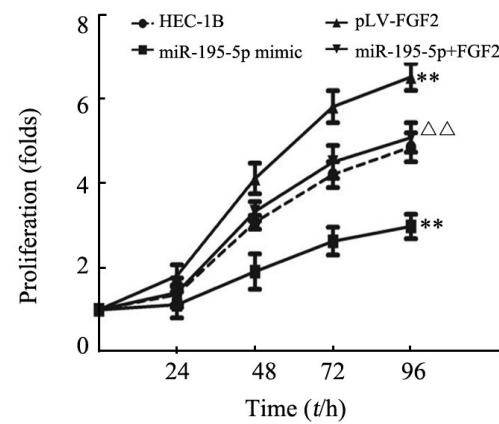


图2 miR-195-5p与FGF2的靶向关系

Fig. 2 Target relationship between miR-195-5p and FGF2



**P<0.01 vs HEC-1B group, △△P<0.01 vs pLV-FGF2 group
图3 miR-195-5p对HEC-1B细胞FGF2蛋白表达水平影响
Fig. 3 Effect of miR-195-5p on the expression level of FGF2 protein in HEC-1B cells



**P<0.01 vs HEC-1B group, △△P<0.01 vs pLV-FGF2 group
图4 miR-195-5p靶向FGF2对HEC-1B细胞增殖率的影响

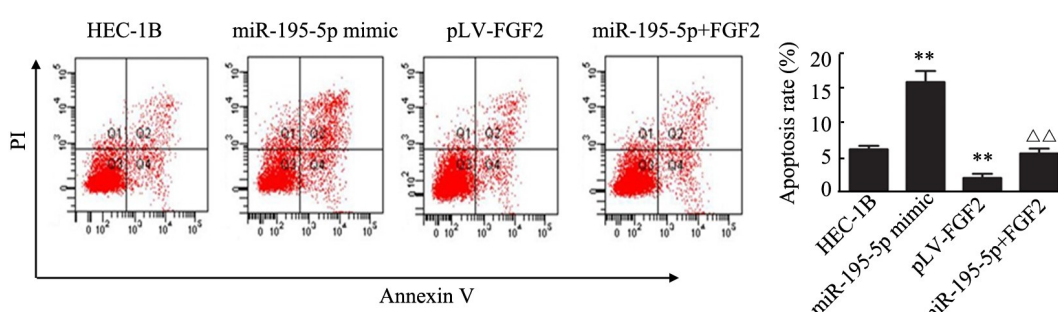
Fig. 4 Effect of miR-195-5p targeting FGF2 on proliferation of HEC-1B cells

2.5 miR-195-5p 靶向 FGF2 明显促进 HEC-1B 细胞凋亡

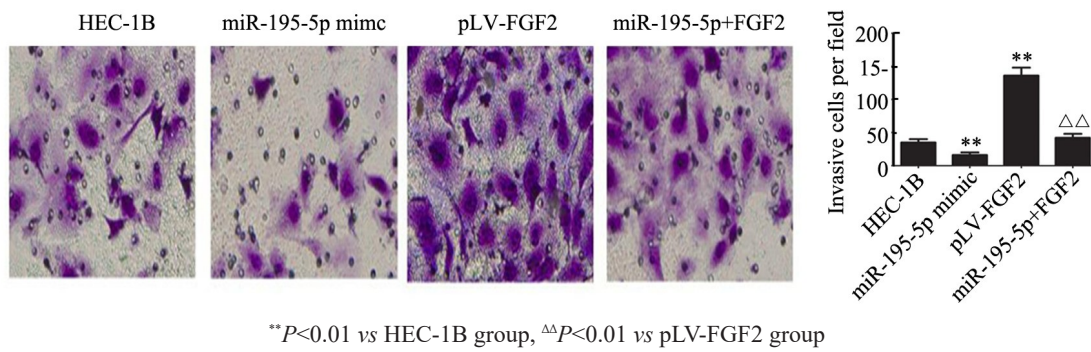
流式细胞术检测结果(图5)显示,与HEC-1B组相比,miR-195-5p mimick组HEC-1B细胞凋亡率明显增加,pLV-FGF2组HEC-1B细胞凋亡率明显降低,且miR-195-5p+FGF2组细胞凋亡率明显高于pLV-FGF2组(均P<0.01)。表明miR-195-5p靶向FGF2可促进子宫内膜癌HEC-1B细胞凋亡。

2.6 miR-195-5p 靶向 FGF2 可降低 HEC-1B 细胞侵袭能力

Transwell实验检测结果(图6可知,与HEC-1B组相比,miR-195-5p mimick组每个视野下的侵袭细胞数明显下降,pLV-FGF2组每个视野下的侵袭细胞数明显上升,且miR-195-5p+FGF2组每个视野下的侵袭细胞数明显少于pLV-FGF2组(均P<0.01)。表明miR-195-5p靶向FGF2可降低子宫内膜癌HEC-1B细胞侵袭能力。



**P<0.01 vs HEC-1B group, △△P<0.01 vs pLV-FGF2 group
图5 miR-195-5p靶向FGF2对HEC-1B细胞凋亡的影响
Fig. 5 Effect of miR-195-5p targeting FGF2 on the apoptosis of HEC-1B cells

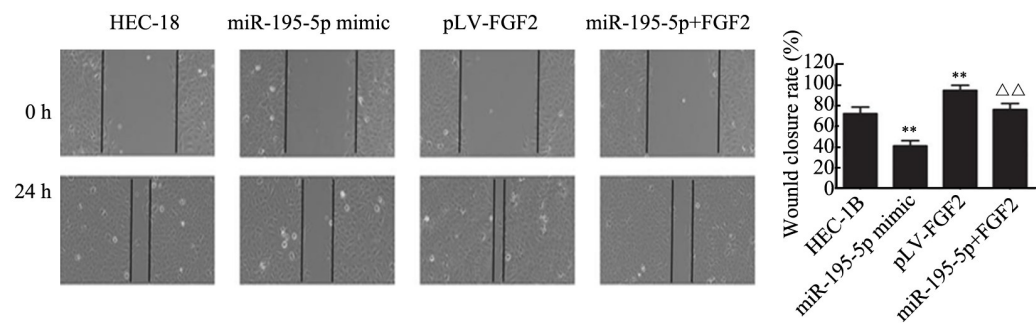


** $P<0.01$ vs HEC-1B group, $\triangle\triangle P<0.01$ vs pLV-FGF2 group
图6 miR-195-5p 靶向 FGF2 对 HEC-1B 细胞侵袭能力的影响($\times 200$)
Fig. 6 Effect of miR-195-5p targeting FGF2 on invasion ability of HEC-1B cells($\times 200$)

2.7 miR-195-5p 靶向 FGF2 对子宫内膜癌 HEC-1B 细胞迁移的影响

为分析 miR-195-5p 靶向 FGF2 对子宫内膜癌 HEC-1B 细胞迁移的影响, 利用划痕实验检测细胞迁移。图 7 显示, 与 HEC-1B 组相比, miR-195-5p mimc

组划痕愈合率降低, pLV-FGF2 组划痕愈合率上升($P < 0.01$)。miR-195-5p+FGF2 组划痕愈合率低于 pLV-FGF2 组($P < 0.01$)。上述结果表明, miR-195-5p 靶向 FGF2 可减弱子宫内膜癌 HEC-1B 细胞迁移。



** $P<0.01$ vs HEC-1B group, $\triangle\triangle P<0.01$ vs pLV-FGF2 group
图7 miR-195-5p 靶向 FGF2 对子宫内膜癌 HEC-1B 细胞迁移的影响
Fig. 7 Effect of miR-195-5p targeting FGF2 on migration of endometrial carcinoma HEC-1B cells

3 讨 论

目前对早期子宫内膜癌的治疗方法主要是手术切除, 但手术治疗存在各种副作用包括不孕、停经、下肢淋巴水肿及性功能障碍, 严重影响患者的生活质量^[11-12]。对于转移性和复发性子宫内膜癌则无法采用手术切除, 需要进行药物治疗。但目前的抗肿瘤药物存在比较大的毒副作用。随着分子生物学的发展, 分子靶向治疗受到了越来越多的关注, 其中 microRNAs 具有成为治疗靶点的潜能^[13-15]。

细胞增殖不受控是癌细胞的常见特征, 大量数据表明 miR-195-5p 可调节癌细胞增殖。ZHANG 等^[16]研究发现, miR-195-5p 可靶向 HMGA1 降低前列腺癌细胞增殖能力。也有研究^[17-19]表明, 在乳腺癌细胞中 miR-195-5p 可通过调节 IRS1 抑制细胞增殖; 在宫颈癌细胞中 miR-195-5p 可直接靶向 cyclin D1 减弱细胞增殖; miR-195-5p 也可通过靶向 FGF2 抑制结肠

直肠癌细胞增殖。本研究结果显示, 在子宫内膜癌 HEC-1B 细胞中添加 miR-195-5p mimic 会降低细胞增殖率, 且会逆转 pLV-FGF2 对细胞增殖的促进作用, 这说明 miR-195-5p 可通过靶向 FGF2 减弱子宫内膜癌 HEC-1B 细胞增殖。

癌细胞具有抗细胞凋亡的特点, 而 miR-195-5p 具有促进癌细胞凋亡的功能。有数据^[20]显示, miR-195-5p 可靶向 GLUT3 促进膀胱癌细胞凋亡。CHEN 等^[21]研究发现, 在肾脏上皮肾细胞癌中 miR-195-5p 可直接靶向 REGγ, 增强细胞凋亡。也有研究^[22]表明, miR-195-5p 靶向 TRIM14, 促进口腔鳞状细胞癌细胞凋亡。本研究结果显示, 在子宫内膜癌 HEC-1B 细胞中添加 miR-195-5p mimic 会提高细胞凋亡率, 且会减弱 pLV-FGF2 对细胞凋亡的抑制作用, 这表明 miR-195-5p 可通过靶向 FGF2 促进子宫内膜癌 HEC-1B 细胞凋亡。

细胞侵袭能力在癌症转移中起着重要作用, 大



量研究表明 miR-195-5p 可调控癌细胞的侵袭能力。有研究^[23]显示, 在骨肉瘤细胞中, miR-195-5p 可负向调控 NKD1 表达, 降低细胞侵袭。LUO 等^[24]研究发现, 在结肠癌细胞中 miR-195-5p 可直接靶向 CDK8, 抑制细胞侵袭。研究^[25]显示, miR-195-5p 可负向调控前列腺癌细胞 Fra1 表达, 减弱细胞侵袭。也有研究^[26]发现, miR-195-5p 可通过靶向 FGF2 抑制肝癌细胞侵袭。本研究结果显示, 在子宫内膜癌 HEC-1B 细胞中添加 miR-195-5p mimic 会减弱细胞侵袭, 且会抑制 pLV-FGF2 对细胞侵袭的促进作用, 这说明 miR-195-5p 可通过靶向 FGF2 降低子宫内膜癌 HEC-1B 细胞侵袭。

细胞迁移对癌症进程的发展十分重要, miR-195-5p 具有调节癌细胞迁移的功能。GUO 等^[27]研究发现, miR-195-5p 可靶向 HDGF 减弱非小细胞肺癌细胞迁移。miR-195-5p 也可靶向结肠直肠癌细胞 YAP1, 降低细胞迁移^[28]。有研究^[29]显示, miR-195-5p 靶向 Notch2 可减弱骨肉瘤细胞迁移。也有数据^[30]显示, miR-195-5p 可通过靶向 FGF2 抑制前列腺癌细胞迁移。本研究结果显示, 在子宫内膜癌 HEC-1B 细胞中添加 miR-195-5p mimic 会减弱细胞迁移, 且会抑制 pLV-FGF2 对细胞迁移的促进作用, 这表明 miR-195-5p 可通过靶向 FGF2 降低子宫内膜癌 HEC-1B 细胞迁移。

综上所述, 在子宫内膜癌 HEC-1B 细胞中, miR-195-5p 可直接靶向作用 FGF2, 负向调控其表达, 减弱癌细胞增殖、侵袭和迁移, 并促进细胞凋亡, 从而发挥抗癌作用, 为子宫内膜癌的治疗提供新的靶点。

参 考 文 献

- [1] SHAW E, FARRIS M, MCNEIL J, et al. Obesity and endometrial cancer[J]. *Recent Results Cancer Res*, 2016, 208(2): 107-136. DOI: 10.1007/978-3-319-42542-9_7.
- [2] BINDER P S, MUTCH D G. Update on prognostic markers for endometrial cancer[J]. *Womens Health (Lond)*, 2014, 10(3): 277-288. DOI: 10.2217/whe.14.13.
- [3] BELL D W. Novel genetic targets in endometrial cancer[J]. *Expert Opin Ther Targets*, 2014, 18(7): 725-730. DOI: 10.1517/14728222.2014.909414.
- [4] ACUNZO M, ROMANO G, WERNICKE D, et al. MicroRNA and cancer--a brief overview[J]. *Adv Biol Regul*, 2015, 57(1): 1-9. DOI: 10.1016/j.jbior.2014.09.013.
- [5] VASILATOU D, SIOULAS V D, PAPPA V, et al. The role of miRNAs in endometrial cancer[J]. *Epigenomics*, 2015, 7(6): 951-959. DOI: 10.2217/epi.15.41.
- [6] YANOKURA M, BANNO K, IIDA M, et al. Micrornas in endometrial cancer: Recent advances and potential clinical applications [J]. *Excli J*, 2015, 14(5): 190-198. DOI: 10.17179/excli2014-590.
- [7] JAYARAMAN M, RADHAKRISHNAN R, MATHEWS C A, et al. Identification of novel diagnostic and prognostic miRNA signatures in endometrial cancer[J]. *Genes Cancer*, 2017, 8(5 / 6): 566-576. DOI: 10.18632/genesandcancer.144.
- [8] CAI C, CHEN Q B, HAN Z D, et al. miR-195 inhibits tumor progression by targeting rps6kb1 in human prostate cancer[J]. *Clin Cancer Res*, 2015, 21(21): 4922-4934. DOI: 10.1158/1078-0432.CCR-15-0217.
- [9] WANG F, JIANG C, SUN Q, et al. MiR-195 is a key regulator of Rafl in thyroid cancer[J/OL]. *Onco Targets Ther*, 2015, 8: 3021-3028[2018-04-06]. <https://www.ncbi.nlm.nih.gov/pmc/articles/PMC4621222/>. DOI: 10.2147/OTT.S90710.
- [10] ZHAO C, QI L, CHEN M, et al. MicroRNA-195 inhibits cell proliferation in bladder cancer via inhibition of cell division control protein 42 homolog/signal transducer and activator of transcription-3 signaling[J]. *Exp Ther Med*, 2015, 10(3): 1103-1108. DOI: 10.3892/etm.2015.2633.
- [11] CONWAY J L, LUKOVIC J, LAFRAMBOISE S, et al. Brachy-ing unresectable endometrial cancers with magnetic resonance guidance[J/OL]. *Cureus*, 2018, 10(3): e2274[2018-04-06]. <https://www.ncbi.nlm.nih.gov/pmc/articles/PMC5935429/>. DOI: 10.7759/cureus.2274.
- [12] 顾星, 曹方, 胡永伟, 等. 小脑锌指结构 1 基因在人子宫内膜癌中的表达及其预后预测价值[J]. 中国肿瘤生物治疗杂志, 2017, 24(8): 875-879. DOI: 10.3872/j.issn.1007-385X.2017.08.010.
- [13] SILVA J L, PAULINO E, DIAS M F, et al. Endometrial cancer: redefining the molecular-targeted approach[J]. *Cancer Chem Pharmacol*, 2015, 76(1): 1-11. DOI: 10.1007/s00280-015-2758-z.
- [14] LHEUREUX S, OZA A M. Endometrial cancer-targeted therapies myth or reality? Review of current targeted treatments[J]. *Eur J Cancer*, 2016, 59(2): 99-108. DOI: 10.1016/j.ejca.2016.02.016.
- [15] HAYES J, PERUZZI P P, LAWLER S. MicroRNAs in cancer: biomarkers, functions and therapy[J]. *Trends Mol Med*, 2014, 20(8): 460-469. DOI: 10.1016/j.molmed.2014.06.005.
- [16] ZHANG X, TAO T, LIU C, et al. Downregulation of miR-195 promotes prostate cancer progression by targeting HMGA1[J]. *Oncol Rep*, 2016, 36(1): 376-382. DOI: 10.3892/or.2016.4797.
- [17] WANG Y, ZHANG X, ZOU C, et al. miR-195 inhibits tumor growth and angiogenesis through modulating IRS1 in breast cancer [J]. *Biomed Pharmacother*, 2016, 80(2): 95-101. DOI: 10.1016/j.biopharm.2016.03.007.
- [18] LI Z, WANG H, WANG Z, et al. MiR-195 inhibits the proliferation of human cervical cancer cells by directly targeting cyclin D1[J]. *Tumour Biol*, 2016, 37(5): 6457-6463. DOI: 10.1007/s13277-015-4540-6.
- [19] ZHANG X, XU J, JIANG T, et al. MicroRNA-195 suppresses colorectal cancer cells proliferation via targeting FGF2 and regulating Wnt/β-catenin pathway[J]. *Am J Cancer Res*, 2016, 6(11): 2631-2640.
- [20] FEI X, QI M, WU B, et al. MicroRNA-195-5p suppresses glucose uptake and proliferation of human bladder cancer T24 cells by regulating GLUT3 expression[J]. *FEBS Lett*, 2012, 586(4): 392-397. DOI: 10.1016/j.febslet.2012.01.006.
- [21] CHEN S, WANG L, YAO X, et al. miR-195-5p is critical in REGγ-mediated regulation of wnt/β-catenin pathway in renal cell carcinoma[J]. *Oncotarget*, 2017, 8(38): 63986-64000. DOI: 10.18632/oncotarget.19256.



- [22] WANG T, REN Y, LIU R, et al. miR-195-5psuppresses the proliferation, migration, and invasion of oralsquamouscellcarcinoma by targetingTRIM14[J/OL]. Biomed Res Int, 2017, 2017: 7378148[2018-04-06]. <https://www.ncbi.nlm.nih.gov/pmc/articles/PMC5674489/>. DOI: 10.1155/2017/7378148.
- [23] QU Q, CHU X, WANG P. MicroRNA-195-5p suppresses osteosarcoma cell proliferation and invasion by suppressing naked cuticle homolog 1[J]. Cell Biol Int, 2017, 41(3): 287-295. DOI: 10.1002/cbin.10723.
- [24] LUO Q, ZHANG Z, DAI Z, et al. Tumor-suppressive microRNA-195-5p regulates cell growth and inhibits cell cycle by targeting cyclin dependent kinase 8 in colon cancer[J]. Am J Transl Res, 2016, 8 (5): 2088-2096.
- [25] WU J, JI A, WANG X, et al. MicroRNA-195-5p, a new regulator of Fra-1, suppresses the migration and invasion of prostate cancer cells [J]. J Transl Med, 2015, 13(4): 289-294. DOI:10.1186/s12967-015-0650-6.
- [26] WANG M, ZHANG J, TONG L, et al. MiR-195 is a key negative regulator of hepatocellular carcinoma metastasis by targeting FGF2 and VEGFA[J]. Int J Clin Exp Pathol, 2015, 8(11): 14110-14120.
- [27] GUO H, LI W, ZHENG T, et al. MiR-195 targets HDGF to inhibit proliferation and invasion of NSCLC cells[J]. Tumour Biol, 2014, 35 (9): 8861-8866. DOI:10.1007/s13277-014-2153-0.
- [28] SUN M, SONG H, WANG S, et al. Integrated analysis identifies microRNA-195 as a suppressor of Hippo-YAP pathway in colorectal cancer[J]. J Hematol Oncol, 2017, 10(1): 79-86. DOI: 10.1186 / s13045-017-0445-8.
- [29] ZHOU S, YU L, XIONG M, et al. LncRNASNHG12 promotes tumorigenesis and metastasis in osteosarcoma by upregulating Notch2 by sponging miR-195-5p[J]. Biochem Biophys Res Commun, 2018, 495(2): 1822-1832. DOI:10.1016/j.bbrc.2017.12.047.
- [30] LIU C, GUAN H, WANG Y, et al. Mir-195 inhibits emt by targeting FGF2 in prostate cancer cells[J / OL]. PLoS One, 2015, 10(12): e0144073[2018-04-06].<https://www.ncbi.nlm.nih.gov/pmc/articles/PMC4674136/>.DOI: 10.1371/journal.pone.0144073.

[收稿日期] 2018-05-10

[修回日期] 2018-07-21

[本文编辑] 王映红